

# Yb<sub>x</sub>: KY<sub>1-x</sub>(WO<sub>4</sub>)<sub>2</sub> 晶体生长及振动光谱研究

刘景和<sup>1</sup>, 张莹<sup>1</sup>, 张礼杰<sup>1</sup>, 曾繁明<sup>1</sup>, 王成伟<sup>2</sup>, 张学建<sup>3</sup>

1. 长春理工大学光电功能材料教育部工程研究中心, 吉林 长春 130022
2. 中国兵器科学研究院, 北京 100089
3. 吉林建筑工程学院, 吉林 长春 130021

**摘要** 采用TSSG法生长出Yb<sub>x</sub>: KY<sub>1-x</sub>W(x=0.05)和KYbW晶体, 并对两者的结构和光谱性能进行了比较。工艺参数为, 转速10~15 r·min<sup>-1</sup>, 拉速1~2 mm·d<sup>-1</sup>, 生长期10~15 d, 降温生长速率0.05~0.1 °C·h<sup>-1</sup>, 降温速率20 °C·h<sup>-1</sup>。XRD分析表明两者均为低温相的β-KYW结构, 两种晶体的晶格常数分别为a<sub>1</sub>=1.063 nm, b<sub>1</sub>=1.034 nm, c<sub>1</sub>=0.755 nm, β<sub>1</sub>=130.75°, Z<sub>1</sub>=4和a<sub>2</sub>=1.061 nm, b<sub>2</sub>=1.029 nm, c<sub>2</sub>=0.749 nm, β<sub>2</sub>=130.65°, Z<sub>2</sub>=4。测试了红外及拉曼光谱, Yb<sub>x</sub>: KY<sub>1-x</sub>W(x=0.05)样品在925, 891, 840, 777, 749 cm<sup>-1</sup>具有较强的红外吸收峰, 是由WO<sub>4</sub>原子基团伸缩振动引起的; KYbW样品在484和437 cm<sup>-1</sup>处具有较强的红外吸收峰, 反映了WO<sub>4</sub>原子基团的弯曲振动。分析了晶体的振动模式, 认为两种晶体有较强的拉曼活性, 钨氧双桥键WOOW和单桥键WOW基团的振动在200~1 000 cm<sup>-1</sup>范围内, 对峰值与相应的振动进行了指认。

**关键词** Yb; KYW; KYbW; 光谱性能; TSSG 法

中图分类号: O782.6 文献标识码: A 文章编号: 1000-0593(2008)02-0335-04

## 引言

Yb: KYW 属于单斜低对称晶体, 结构上的各向异性使其吸收和发射光谱呈现强烈的各向异性, 并且折射率随温度变化小, 量子效率高, 可实现应用功率超快脉冲激光输出, 是一类性能十分优良的拉曼激光晶体。KYW 晶体的低对称性使其可实现 Yb<sup>3+</sup> 离子的高浓度掺杂, 并可用于制作薄片或微片激光器, 对实现 LD 泵浦的固体激光器的集成化、小型化和结构紧凑将具有十分重要的意义<sup>[1-6]</sup>。

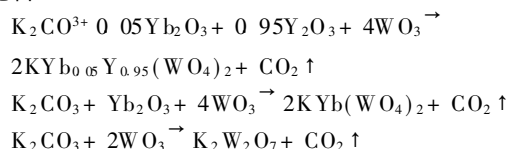
KYbW 晶体是一种新型的激光晶体, 与低浓度掺杂的 Yb: KYW 晶体相比, 有更宽的吸收带和发射带范围。激光输出波长在980~1 080 nm 范围内, 吸收波长范围在930~980 nm。在 KYbW 晶体中, Yb 既作为基质, 又作为激活离子, 可以避免 Yb: KYW 晶体中由于 Yb<sup>3+</sup> 与 Y<sup>3+</sup> 离子半径不同引起的晶格畸变。KYbW 晶体除了自激励发射波长为980~1 080 nm 的激光之外, 还可以作为基质, 用其它稀土离子为激活离子(如 Er<sup>3+</sup>, Tm<sup>3+</sup> 和 Ho<sup>3+</sup> 等)来获取不同波长的激光输出。2002年, Klopp等报道, 用922 nm 泵浦 KYbW 激光晶体获得了效率为41%的1 074 nm 准连续激光输出<sup>[4]</sup>。

本文对 Yb<sub>x</sub>: KY<sub>1-x</sub>W(x=0.05) 和 KYbW 低对称晶体的生长、结构及光谱性能进行了研究。

## 1 实验

### 1.1 原料制备

选择 K<sub>2</sub>W<sub>2</sub>O<sub>7</sub> 为助熔剂, 采用 K<sub>2</sub>CO<sub>3</sub>(优级纯)、Yb<sub>2</sub>O<sub>3</sub>(4N)、Y<sub>2</sub>O<sub>3</sub>(4N)、WO<sub>3</sub>(5N) 为原料。按下列化学方程式进行配料



其中, 助熔剂 K<sub>2</sub>W<sub>2</sub>O<sub>7</sub> 与 KYb<sub>0.05</sub>Y<sub>0.95</sub>(WO<sub>4</sub>) 和 KYb(WO<sub>4</sub>)<sub>2</sub> 的摩尔比均为4:1。配料前, 将上述原料用烘箱干燥24 h, 以除去其中的水分, 然后用电子天平(精确度为0.1 mg)严格按上述配比称量, 用玛瑙研钵将其混均、研细备用。

### 1.2 晶体生长

采用TSSG法生长 Yb<sub>x</sub>: KY<sub>1-x</sub>W(x=0.05) 和 KYbW 晶体。实验设备有MCGE II型晶体生长单晶炉(炉体用电阻

收稿日期: 2006-11-02, 修订日期: 2007-02-08

基金项目: 总装备部项目(41312040801)和吉林省科技发展计划项目(20050501)资助

作者简介: 刘景和, 1944年生, 长春理工大学教授 em ail: liujinghe@yahoo.com.cn

© 1994-2010 China Academic Journal Electronic Publishing House. All rights reserved. http://www.cnki.net

丝加热), 坩埚尺寸为  $\varnothing 60 \text{ mm} \times 50 \text{ mm}$ , Pt Rh 热电偶, A F 808P 控温仪控制温度。

将原料置于铂坩埚中, 在饱和温度以上  $80^\circ\text{C}$  恒温 24 h, 使其充分熔化, 然后降至饱和温度以上  $5^\circ\text{C}$  开始用铂金丝引晶, 以  $0.1^\circ\text{C} \cdot \text{h}^{-1}$  的降温速率进行缓慢降温生长。生长结束后, 用水处理, 分离出晶体, 定向切割作为籽晶。当原料充分熔化后, 用尝试籽晶法测定熔体的饱和温度, 炉温经 1 h 降至过饱和度以上  $1\sim 2^\circ\text{C}$ , 开始引晶。晶体生长初期若降温速率过快, 则易产生大量包裹物, 所以在开始生长的 48 h 内不降温, 进行恒温生长, 以后再以  $0.05\sim 0.1^\circ\text{C} \cdot \text{h}^{-1}$  的速率降温生长, 同时以速率为  $1\sim 2 \text{ mm} \cdot \text{d}^{-1}$  提拉。籽晶转动速率为  $10\sim 15 \text{ r} \cdot \text{min}^{-1}$ , 生长  $10\sim 15 \text{ d}$  后, 将晶体提离液面, 然后以  $20^\circ\text{C} \cdot \text{h}^{-1}$  的速率降至室温。最终得到形状规则, 无明显的包裹物和裂纹的  $\text{Yb}_x : \text{KY}_{1-x}\text{W}$  ( $x = 0.05$ ) 和  $\text{KYbW}$  晶体。

### 1.3 性能测试

采用日本理学 D/max rA 转靶 X 射线衍射仪(辐射源为  $\lambda = 0.154056 \text{ nm}$  的  $\text{CuK}\alpha$  线, 管电压 50 kV, 管电流 150 mA, 石墨单色器)对晶体结构进行 XRD 分析。用 BIO-RAD 公司 FT/ST135 傅里叶变换红外光谱仪(分辨率为  $4 \text{ cm}^{-1}$ , 扫描次数为 64 次)测得晶体的红外光谱。用美国 Renishaw 公司的 MKF 1000 型拉曼光谱仪(激发源波长为 Ar 离子  $488 \text{ nm}$ )测得晶体的拉曼光谱。

## 2 结果与讨论

### 2.1 XRD 分析

两种晶体的 XRD 衍射谱图如图 1 和图 2 所示, 测试结果与 JCPDS 标准卡片(73-0057)进行对照, 表明  $\text{Yb}_x : \text{KY}_{1-x}\text{W}$  ( $x = 0.05$ ) 和  $\text{KYbW}$  晶体与纯  $\beta$ -KYW 一样, 也属于单斜晶系,  $C2/c$  空间群。表明生长的晶体为  $\beta$ - $\text{Yb}_x : \text{KYW}$  和  $\beta$ - $\text{KYbW}$ 。由单斜晶系的晶格常数计算公式(1)可以算出  $\text{Yb}_x : \text{KY}_{1-x}\text{W}$  ( $x = 0.05$ ) 和  $\text{KYbW}$  晶体晶格常数分别为:  $a_1 = 1.063 \text{ nm}$ ,  $b_1 = 1.034 \text{ nm}$ ,  $c_1 = 0.755 \text{ nm}$ ,  $\beta_1 = 130.75^\circ$ ,  $Z_1 = 4$  和  $a_2 = 1.061 \text{ nm}$ ,  $b_2 = 1.029 \text{ nm}$ ,  $c_2 = 0.749 \text{ nm}$ ,  $\beta_2 = 130.65^\circ$ ,  $Z_2 = 4$ 。式中  $A$ ,  $B$ ,  $C$  为( $hkl$ ) 晶面族离原点最近的晶面在  $a$ ,  $b$ ,  $c$  轴的截距:  $A = a \cdot h^{-1}$ ,  $B = b \cdot k$ ,  $C = c \cdot l$ 。

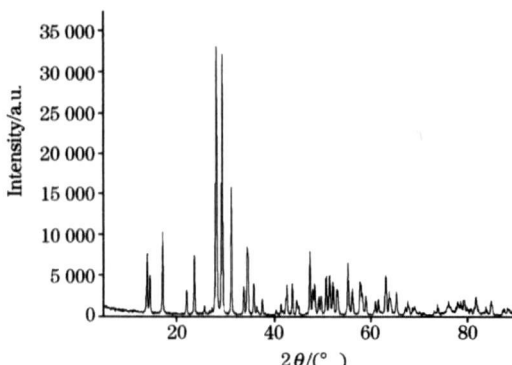


Fig 1 Powder XRD pattern of  $\text{Yb}_x : \text{KY}_{1-x}\text{W}$  ( $x = 0.05$ ) crystal

$$d = \frac{ABC \sin \beta}{\sqrt{A^2 B^2 + B^2 C^2 + A^2 C^2 \sin^2 \beta - 2AB^2 C \cos \beta}} \quad (1)$$

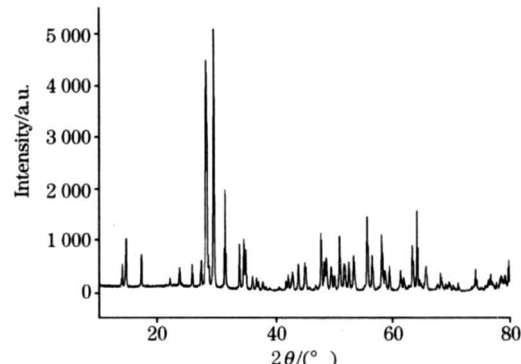


Fig 2 Powder XRD pattern of  $\text{KYbW}$  crystal

### 2.2 红外光谱

$\text{Yb}_x : \text{KY}_{1-x}\text{W}$  ( $x = 0.05$ ) 和  $\text{KYbW}$  晶体的红外光谱分别如图 3 和图 4 所示。从图 3 中可以看出, 样品在  $925$ ,  $891$ ,  $840$ ,  $777$ ,  $749 \text{ cm}^{-1}$  处出现红外吸收峰是  $\text{WO}_4$  原子基团伸缩振动的表现。在  $480$ ,  $441 \text{ cm}^{-1}$  处出现的红外吸收峰反映了  $\text{WO}_4$  原子基团的弯曲振动。从图 4 中可以看出,  $3400$  和  $1600 \text{ cm}^{-1}$  附近的红外吸收峰为少量 O-H 键的非对称伸缩和弯曲振动的吸收峰, 是样品中进入微量的水分引起的。

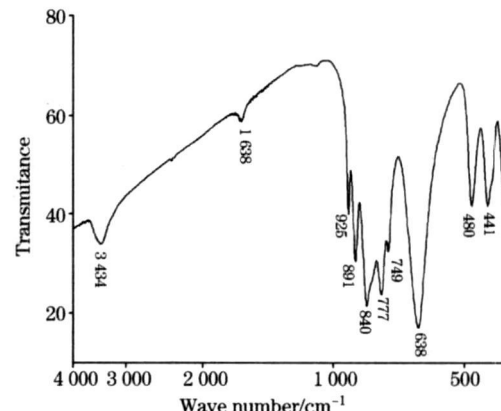


Fig 3 IR spectrum of  $\text{Yb}_x : \text{KY}_{1-x}\text{W}$  ( $x = 0.05$ )

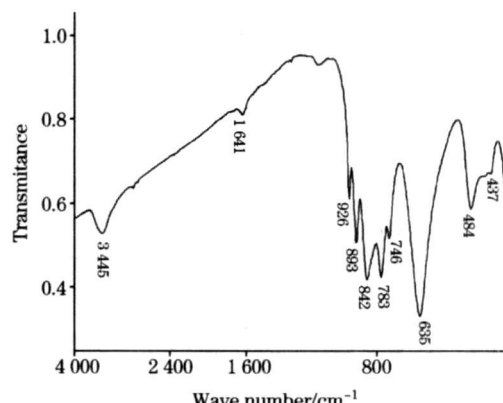


Fig 4 IR spectrum of  $\text{KYbW}$

926, 893, 842, 783, 746 和 635  $\text{cm}^{-1}$  处出现的红外吸收峰是  $\text{WO}_4$  原子基团伸缩振动的表现, 484 和 437  $\text{cm}^{-1}$  处所出现的吸收峰反映了  $\text{WO}_4$  原子基团的弯曲振动<sup>[8-10]</sup>。

### 2.3 拉曼光谱

$\text{Yb}_x : \text{KY}_{1-x}\text{W}$  ( $x = 0.05$ ) 和  $\text{KYbW}$  晶体的拉曼光谱分别如图 5 和图 6 所示。从图中看出样品有较强的拉曼谱带存

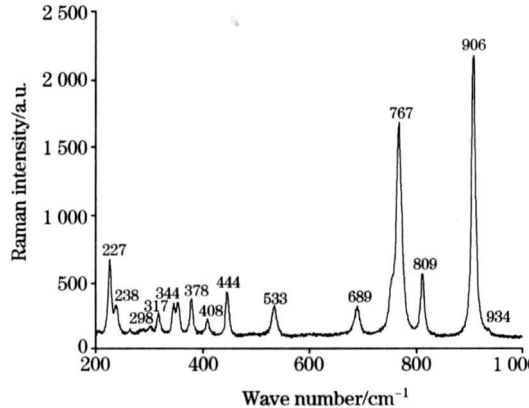


Fig 5 Raman Spectrum of  $\text{Yb}_x : \text{KY}_{1-x}\text{W}$  ( $x = 0.05$ )

在, 这说明了晶体含有高度共价的多重键。根据谱带的数目、位置、强度及线形, 并结合相关图谱, 可以初步判断  $\text{KY}(\text{WO}_4)_2$  晶体的结构是建立在由  $\text{WOOW}$  双键和  $\text{WOW}$  单键桥接成的  $\text{WO}_6$  八面体基础上的<sup>[11-14]</sup>。因此, 图中的拉曼峰值所对应的振动基团基本上是  $\text{WOOW}$  和  $\text{WOW}$  基团, 表 1 为对各个峰值的 Raman 活性和可能的原子基团振动情况进行的指认。

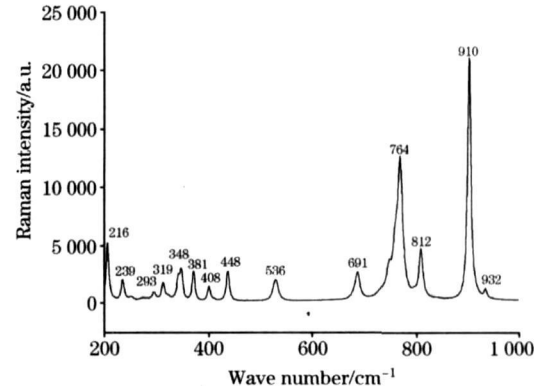


Fig 6 Raman Spectrum of  $\text{KYbW}$

Table 1 Vibrational frequencies of  $\text{Yb}_x : \text{KY}_{1-x}\text{W}$  ( $x = 0.05$ ) and  $\text{KYbW}$  raman active modes

ASSIGNMENT	$\text{Yb}_x : \text{KY}_{1-x}\text{W}$ ( $x = 0.05$ )		$\text{KYbW}$	
	RS	IR	RS	IR
$\text{L}(\text{WO}_6)$	227		216	
$\delta(\text{WOW})$ 弯曲振动	238		239	
$\delta(\text{WOOW})$ 平面外的弯曲振动	298		293	
$\delta_s(\text{WO}_6)$	317		319	
	352		348	
	378		381	
$\delta_{as}(\text{WO}_6)$	408		408	
$\delta(\text{WOOW})$ 平面内的弯曲振动	444	441	448	437
$\omega(\text{WOOW})$ 平面外的摇摆振动		480		484
$\nu_s(\text{WOW})$	533		536	
$\nu_s(\text{WOOW})$ 平面内的伸缩振动	689	638	691	635
$\nu(\text{WOOW})$ 伸缩振动	767	749	764	746
		777		783
$\nu_{as}(\text{WO}_6) + \nu_{as}(\text{WOW})$	809	840	812	842
$\nu_s(\text{WO}_6) + \nu(\text{WOOW})$	906	891	910	893
$\nu_s(\text{WO}_6)$	934	925	932	926

### 3 结 论

以  $\text{K}_2\text{W}_2\text{O}_7$  作助熔剂, 采用 TSSG 法生长出  $\text{Yb}_x : \text{KY}_{1-x}\text{W}$  ( $x = 0.05$ ) 和  $\text{KYbW}$  晶体, 宏观缺陷少, 形状规则, 无明显包裹物。工艺参数为转速  $10 \sim 15 \text{ r} \cdot \text{min}^{-1}$ , 拉速为  $1 \sim 2 \text{ mm} \cdot \text{e}^{-1}$ , 生长周期  $10 \sim 15 \text{ d}$ , 降温生长速率  $0.05 \sim 0.1 \text{ }^{\circ}\text{C} \cdot \text{h}^{-1}$ , 降温速率  $20 \text{ }^{\circ}\text{C} \cdot \text{h}^{-1}$ 。XRD 分析表明两者分别为低温相的  $\beta$ - $\text{Yb}_x : \text{KYW}$  和  $\beta$ - $\text{KYbW}$  晶体。由单斜晶系的晶格

常数计算公式计算出  $\text{Yb}_x : \text{KY}_{1-x}\text{W}$  ( $x = 0.05$ ) 和  $\text{Yb}_x : \text{KYW}$  晶体的晶格常数分别为:  $a_1 = 1.063 \text{ nm}$ ,  $b_1 = 1.034 \text{ nm}$ ,  $c_1 = 0.755 \text{ nm}$ ,  $\beta_1 = 130.75^{\circ}$ ,  $Z_1 = 4$  和  $a_2 = 1.061 \text{ nm}$ ,  $b_2 = 1.029 \text{ nm}$ ,  $c_2 = 0.749 \text{ nm}$ ,  $\beta_2 = 130.65^{\circ}$ ,  $Z_2 = 4$ 。由测得的样品的红外和拉曼光谱可知  $\text{Yb}_x : \text{KY}_{1-x}\text{W}$  ( $x = 0.05$ ) 和  $\text{Yb}_x : \text{KYW}$  晶体具有较强的拉曼活性, 钨氧双桥键  $\text{WOOW}$  和单桥键  $\text{WOW}$  基团的振动在  $200 \sim 1000 \text{ cm}^{-1}$  范围内。本文对峰值与相应的振动进行了指认。

## 参 考 文 献

- [1] Fan T Y. IEEE J. Quantum Electron, 1993, 29(6): 1457.
- [2] Giesen A, Hugel H, Voss A, et al. Appl. Phys. B, 1994, 58: 365.
- [3] TU Chaoyang, LI Jiayu, ZHU Zhaojie, et al(涂朝阳, 李坚富, 朱昭捷, 等). Spectroscopy and Spectral Analysis(光谱学与光谱分析), 2003, 23(4): 672.
- [4] Brenier A. Journal of Luminescence, 2001, 92: 199.
- [5] Liu H, Nees J, Mourou G. Opt. Lett., 2001, 26: 1723.
- [6] LIU Huangqing, QIN Guanshi, LIN Haixian, et al(刘晃清, 秦冠仕, 林海燕, 等). Spectroscopy and Spectral Analysis(光谱学与光谱分析), 2004, 24(1): 9.
- [7] Klopp P, Griebner U, Petrov V, et al. Appl. Phys. B, 2002, 74: 185.
- [8] Fornasiero L, Mix E, Peters V, et al. Crystal Research and Technology, 1999, 34: 255.
- [9] LI Yaohong, LI Jianli, HONG Yuanjia, et al(李艳红, 李建利, 洪元佳, 等). China Laser(中国激光), 2002, 29(5): 444.
- [10] Wang P, Dawes J M, Dekker P, et al. Journal of Opt. Soc. Am. B, 1999, 16: 63.
- [11] M acalika L, Hanuzaa J, Kaminskiib A A. Journal of Molecular Structure, 2000, 555: 289.
- [12] Metrat G, Boudeulle M, Muhlstein N, et al. Journal of Cryst. Growth., 1999, 197: 883.
- [13] Payne S A, DeLoach L D, Smith L K, Appl. Phys., 1994, 76: 497.
- [14] Bruesselbach H W, Sumida D S, Reeder R A, Byren R W. IEEE Journal of Selected Topics Quantum Electronics, 1997, 3(1): 105.

## Study on Crystal Growth and Vibrational Spectra of $\text{Yb}_x : \text{KY}_{1-x}(\text{WO}_4)_2$

LIU Jinghe<sup>1</sup>, ZHANG Ying<sup>1</sup>, ZHANG Lijie<sup>1</sup>, ZENG Fairming<sup>1</sup>, WANG Chengwei<sup>2</sup>, ZHANG Xuejian<sup>3</sup>

1. Research Center of Optoelectronic Functional Materials, Changchun University of Science and Technology, Changchun 130022, China
2. China Weapon Research Institute, Beijing 100089, China
3. Jilin Architectural and Civil Engineering Institute, Changchun 130021, China

**Abstract**  $\text{Yb}_x : \text{KY}_{1-x}\text{W}$  ( $x = 0.05$ ) and  $\text{KYbW}$  crystals were grown by TSSG method. Both of the structure and spectral properties were compared. The condition for the crystal growth is: the rotation rate  $10\text{--}15 \text{ r} \cdot \text{min}^{-1}$ , the pulling speed  $1\text{--}2 \text{ mm} \cdot \text{d}^{-1}$ , the growing period  $10\text{--}15 \text{ d}$ , cooling growing speed  $0.05\text{--}0.1 \text{ }^{\circ}\text{C} \cdot \text{h}^{-1}$ , and the cooling speed  $20 \text{ }^{\circ}\text{C} \cdot \text{h}^{-1}$ . X-ray powder diffraction analysis was performed for the crystal powder. They belong to  $\beta$ -KYW structure with low thermal phase. The cell parameters of the two crystals were calculated, and they are respectively  $a_1 = 1.063 \text{ nm}$ ,  $b_1 = 1.034 \text{ nm}$ ,  $c_1 = 0.755 \text{ nm}$ ,  $\beta_1 = 130.75^\circ$ ,  $Z_1 = 4$  and  $a_2 = 1.061 \text{ nm}$ ,  $b_2 = 1.029 \text{ nm}$ ,  $c_2 = 0.749 \text{ nm}$ ,  $\beta_2 = 130.65^\circ$  and  $Z_2 = 4$ . The infrared spectrum and Raman spectrum of crystal were measured. The sample of  $\text{Yb}_x : \text{KY}_{1-x}\text{W}$  ( $x = 0.05$ ) had stronger infrared absorption peaks at  $925$ ,  $891$ ,  $840$ ,  $777$  and  $749 \text{ cm}^{-1}$ , which were caused by stretching vibration. The sample of KYW had stronger infrared absorption peaks at  $484$  and  $437 \text{ cm}^{-1}$  caused by bending vibration. The vibration modes were analysed and vibrational frequencies of vibratory activity was assigned. The two crystals had strong Raman activity. The vibration of  $\text{WOOW}$  and  $\text{WOW}$  exists from  $200$  to  $1000 \text{ cm}^{-1}$ .

**Keywords**  $\text{Yb} : \text{KYW}$ ;  $\text{KYbW}$ ; Spectral properties; TSSG method

(Received Nov. 2, 2006; accepted Feb. 8, 2007)